

01;03

# О массопереносе, связанном с нелинейным капиллярно-гравитационным волновым движением на поверхности вязкой жидкости

© А.В. Климов, А.И. Григорьев

Ярославский государственный университет им. П.Г. Демидова,  
150000 Ярославль, Россия  
e-mail: grig@uniyar.ac.ru

(Поступило в Редакцию 4 июня 2007 г.)

Получено аналитическое асимптотическое выражение для горизонтального потока жидкости, связанного с периодической нелинейной капиллярной волной в слое вязкой жидкости конечной глубины, имеющее второй порядок малости по отношению амплитуды волны к ее длине. Выяснилось, что поток жидкости определяется нелинейной компонентой вихревой части поля скоростей, а его величина независимо от толщины слоя увеличивается с ростом вязкости жидкости и с уменьшением длины волны. В тонких слоях жидкости величина потока быстро уменьшается во времени от максимального значения с ростом вязкости, длины волны и поверхностной плотности заряда. Если поверхность жидкости заряжена, то при приближении поверхностной плотности заряда к критической в смысле реализации неустойчивости Тонкса–Френкеля величина горизонтального потока жидкости быстро уменьшается.

PACS: 66.20.+d, 47.35.Pq

## Введение

Еще в середине XIX в. Стокс в приближении идеальной жидкости показал, что с нелинейной волной связан поток жидкости в направлении движения волны [1]. В середине XX в. Лонгет–Хиггинс [2] обобщил исследования Стокса на случай жидкости вязкой, введя специально для этого исследования понятие пограничного слоя у свободной поверхности жидкости, поскольку аналитическое решение задачи о нелинейном периодическом волновом движении в вязкой жидкости в то время не было найдено. Однако, как показано в [3], толщина пограничного слоя в [2] была оценена с существенной погрешностью, и поля скоростей, рассчитываемые на основе приближенной теории пограничного слоя, определялись с почти стопроцентной погрешностью, отразившейся и на расчете нелинейного переноса жидкости волной. Уже в этом столетии получено аналитическое асимптотическое решение задачи о расчете периодического нелинейного капиллярно-гравитационного волнового движения в вязкой жидкости как в бесконечно глубокой [4,5], так и в жидкости конечной глубины [6,7]. В этой связи появилась возможность проведения корректного аналитического исследования потока жидкости, переносимого нелинейной волной в вязкой жидкости. Этой проблеме и посвящена настоящая работа.

## 1. Математическая постановка задачи

Пусть несжимаемая жидкость с массовой плотностью  $\rho$ , кинематической вязкостью  $\nu$ , коэффициентом поверхностного натяжения  $\gamma$  заполняет в поле тяжести

$\mathbf{g} \parallel -\mathbf{n}_z$  безграничный по площади слой  $-d \leq z \leq 0$  в декартовой системе координат  $x, y, z$  (за  $\mathbf{n}_z$  обозначен орт оси  $z$ ). Снизу жидкость ограничена поверхностью  $z = -d$  — твердым дном, на котором выполняется условие прилипания. В положительном направлении оси  $x$  бежит плоская капиллярно-гравитационная волна малой, но конечной амплитуды  $a$  (много меньшей длины волны). Над поверхностью жидкости находится вакуум. Сверху на проводящую жидкость действует электрическое поле напряженностью  $\mathbf{E}_0 \parallel \mathbf{g}$ . Свободная поверхность жидкости подвержена возмущениям малой амплитуды так, что ее форма представляется функцией координаты и времени:  $z = \xi(x, t)$ . Поверхностная плотность электрического заряда  $\kappa = 4\pi E_0$  в равновесном состоянии, когда свободная поверхность жидкости совпадает с плоскостью  $z = 0$ , постоянна вдоль поверхности.

С учетом вышесказанного математическая формулировка задачи расчета нелинейного волнового движения имеет вид

$$-d \leq z \leq \xi : \quad \frac{\partial \mathbf{U}}{\partial t} + (\nabla \times \mathbf{U}) \times \mathbf{U} = -\nabla \left( \frac{1}{\rho} p + \frac{1}{2} U^2 + gz \right)$$

$$+ \nu \Delta \mathbf{U}; \quad \operatorname{div} \mathbf{U} = 0;$$

$$z \geq \xi : \quad \Delta \Phi = 0;$$

$$z = \xi : \quad \Phi = 0; \quad \frac{\partial \xi}{\partial t} + \mathbf{U} \cdot \nabla \xi = 0;$$

$$\boldsymbol{\tau} \cdot (\mathbf{n} \cdot \nabla) \mathbf{U} + \mathbf{n} \cdot (\boldsymbol{\tau} \cdot \nabla) \mathbf{U} = 0;$$

$$p - 2\rho\nu\mathbf{n} \cdot (\mathbf{n} \cdot \nabla)\mathbf{U} + \frac{(\nabla\Phi)^2}{8\pi} = -\gamma \frac{\partial^2 \xi}{\partial x^2} \left( 1 + \left( \frac{\partial \xi}{\partial x} \right)^2 \right)^{-3/2};$$

$$z = -d: \quad \mathbf{U} = \mathbf{0}; \quad z \rightarrow \infty: \quad \nabla\Phi = -E_0 \cdot \mathbf{n}_z;$$

где  $\mathbf{U}(\mathbf{r}, t)$  — поле скоростей и  $p(\mathbf{r}, t)$  — гидродинамическое давление внутри жидкости;  $\Phi(\mathbf{r}, t)$  — потенциал электрического поля;  $\mathbf{n}$  и  $\boldsymbol{\tau}$  представляют собой соответственно единичные вектора нормали и касательной к свободной поверхности жидкости. Аналитическое асимптотическое решение задачи ищется в рамках теории возмущений. Малый параметр, по которому будет вестись разложение, определяется отношением амплитуды волны в первом порядке приближений  $a$  к длине волны:  $\varepsilon \equiv a/\lambda$ .

Для однозначной разрешимости обсуждаемой задачи необходимо сформулировать еще и начальные условия, которых в соответствии с количеством и порядком производных по времени формулируемой задачи должно быть два. Однако в задачах подобного рода проблема выбора начальных условий оказывается довольно тонким вопросом, поскольку произвольное заданное начальное условие может привести к неопределенному увеличению громоздкости решения. Поэтому при расчетах нелинейного периодического волнового движения на поверхности жидкости начальные условия выбираются так, чтобы аналитическое описание решения было наименее громоздким [8–10]. Фактически требование определения начального условия заменяется принципом: искать решение, наименее громоздкое в смысле математического описания.

Так, в качестве первого начального условия, как правило, используется условие, что все нелинейные поправки к профилю волны, полю скоростей, гидродинамическому давлению внутри жидкости, потенциалу электрического поля над поверхностью жидкости, имеющие вид бегущих волн и являющиеся в первом порядке приближений периодическими функциями аргумента  $\theta \equiv St - kx$ , являются функциями аргумента  $m\theta$ , где целое число  $m > 1$ . Иными словами, принимается, что амплитудные множители при возможных нелинейных поправках к характеристикам волны с аргументом  $\theta$  равны нулю.

Второе начальное условие накладывается на поле скоростей и выбирается на финальной стадии анализа таким образом, чтобы получающееся в результате решение имело наименее громоздкий вид. Для проводимого исследования существен лишь тот факт, что второе начальное условие отлично от нуля и, как показывает расчет [6,7], положительно, т.е. в начальный момент времени с волной связано поле скоростей с положительной проекцией на ось  $x$ .

В приведенной формулировке задача решена в [6,7]. Имея в виду цель проводимого в настоящей работе

исследования массопереноса, обусловленного нелинейной волной, не станем выписывать найденные в [6,7] аналитические выражения для всех искомым функций ввиду их громоздкости, но приведем лишь выражение горизонтальной проекции поля скоростей течения жидкости, связанного с волной  $u(\mathbf{r}, t) \equiv U_x(\mathbf{r}, t)$ :

$$u(x, z, t) = \varepsilon u_1(x, z, t) + \varepsilon^2 (u_2^+(x, z, t) + u_2^*(x, z, t) + \alpha^2 L(z, t)); \quad \alpha \equiv \sqrt{\gamma/\rho g}, \quad (1)$$

где  $\alpha$  — капиллярная постоянная жидкости, а выражения для компонент решения  $u_1$ ,  $u_2^+$ ,  $u_2^*$ ,  $L$  вынесены в „Приложение А“ ввиду их громоздкости. Здесь следует отметить, что громоздкость математических расчетов и получаемых результатов, на которую было сделано много ссылок выше, долгое время препятствовала аналитическому исследованию нелинейных капиллярно-гравитационных волн в вязкой жидкости, и только после появления мощных пакетов аналитических компьютерных вычислений эту трудность удалось преодолеть.

На основании (1) можно получить аналитическое выражение для горизонтального потока жидкости, связанного с нелинейной волной, бегущей по поверхности жидкости.

## 2. Расчет горизонтального потока, связанного с нелинейной волной

Значение горизонтального потока жидкости через плоское сечение, заданное геометрическим местом точек:

$$\Omega = \{x = x_0; y_0 < y < y_0 + \Delta y; z < 0\},$$

где  $x_0$ ,  $y_0$ ,  $\Delta y$  — произвольные величины размерности длины, определится интегралом

$$Q(x_0, \Delta y, t) = \rho \Delta y \int_{-d}^0 u(x_0, z, t) dz. \quad (2)$$

В качестве искомой оценки величины горизонтального потока жидкости, вызванного нелинейной волной, возьмем  $Q(x_0, \Delta y, t)$ , усредненную по всевозможным значениям  $x_0$ . Поскольку подынтегральная функция в (2) — горизонтальная компонента скорости — периодична по  $x_0$  с периодом, равным длине волны  $\lambda$ , то искомой величиной — обозначим ее  $\Phi(\Delta y, t)$  — будет значение  $Q(x_0, \Delta y, t)$ , усредненное по длине волны, т.е.

$$\Phi(\Delta y, t) = \frac{\rho \Delta y}{\lambda} \int_{x_0}^{x_0+\lambda} \left( \int_{-d}^0 u(\xi, z, t) dz \right) d\xi. \quad (3)$$

Подставив (1) в (3) и проинтегрировав, получим

$$\begin{aligned} \Phi(\Delta y, t) = & a^2 \rho \Delta y \left( \operatorname{Re} r_0 \exp(2 \operatorname{Re} S t) \right. \\ & - \frac{\nu \operatorname{Re} r_1}{\operatorname{Re} S} \left( 1 - \exp(2 \operatorname{Re} S t) - 2 \sum_{n=0}^{\infty} (-1)^n \operatorname{erfc} \left( \frac{d(2n+1)}{2\sqrt{t\nu}} \right) \right. \\ & + \exp(2 \operatorname{Re} S t) \sum_{n=0}^{\infty} (-1)^n (\exp(2n+1) d w_0) \\ & \times \operatorname{erfc} \left( \frac{d(2n+1)}{2\sqrt{t\nu}} + w_0 \sqrt{t\nu} \right) + \exp(-(2n+1) d w_0) \\ & \left. \left. \times \operatorname{erfc} \left( \frac{d(2n+1)}{2\sqrt{t\nu}} - w_0 \sqrt{t\nu} \right) \right) \right) \\ & + \frac{\operatorname{Re} r_2}{w_0} \exp(2 \operatorname{Re} S t) \left( \operatorname{erfc}(-w_0 \sqrt{t\nu}) - \operatorname{erfc}(w_0 \sqrt{t\nu}) \right. \\ & - 2 \sum_{n=1}^{\infty} (-1)^n \left( \exp(2nd w_0) \operatorname{erfc} \left( \frac{nd}{\sqrt{t\nu}} + w_0 \sqrt{t\nu} \right) \right. \\ & \left. \left. + \exp(-2nd w_0) \operatorname{erfc} \left( \frac{nd}{\sqrt{t\nu}} - w_0 \sqrt{t\nu} \right) \right) \right), \quad (4) \end{aligned}$$

где  $k = 2\pi/\lambda$  — волновое число;  $S$  — комплексная частота волны, являющаяся решением дисперсионного уравнения

$$\operatorname{Det} M = 0;$$

$$M = \begin{pmatrix} 1 & 0 & 0 & -i \frac{q}{k} & 0 \\ 0 & 1 & -i & 0 & 0 \\ -k \operatorname{Sh} dk & -k \operatorname{Ch} dk & ik \operatorname{Ch} dq & ik \operatorname{Sh} dq & S \\ -\nu(k^2 + q^2) \rho \operatorname{Ch} dk & -\nu(k^2 + q^2) \rho \operatorname{Sh} dk & 2i\nu\rho k q \operatorname{Sh} dq & 2i\nu\rho k q \operatorname{Ch} dq & -\frac{\rho}{k} \omega_0^2 \\ -2ik^2 \operatorname{Sh} dk & -2ik^2 \operatorname{Ch} dk & -(k^2 + q^2) \operatorname{Ch} dq & -(k^2 + q^2) \operatorname{Sh} dq & 0 \end{pmatrix};$$

$$\omega_0^2 = gk \left( 1 + \frac{\gamma}{\rho g} k^2 - \frac{E_0^2}{4\pi\rho g} k \right),$$

выражения для  $r_0$ ,  $r_1$ ,  $r_2$  приведены в „Приложении В“. Как и следовало ожидать, вклад в горизонтальный поток жидкости дает только нелинейная компонента вихревой части поля скоростей,  $-\nu$  и  $\sim a^2$  (или  $\sim \varepsilon^2$ ). Поскольку  $r_0$  и  $r_2$  пропорциональны  $\nu$  то в (4) коэффициент кинематической вязкости  $\nu$  можно вынести за скобки, и в качестве общего множителя в выражении для потока образуется комбинация  $\rho\nu$ , т.е. коэффициент динамической вязкости  $\eta \equiv \rho\nu$ , которому и будет пропорциональна величина потока. Тем не менее коэффициент кинематической вязкости входит в определение характерного линейного масштаба изменения интенсивности вихревой части движения жидкости  $q^{-1}$  и в определение частоты волны  $S$ .

### 3. Анализ решения

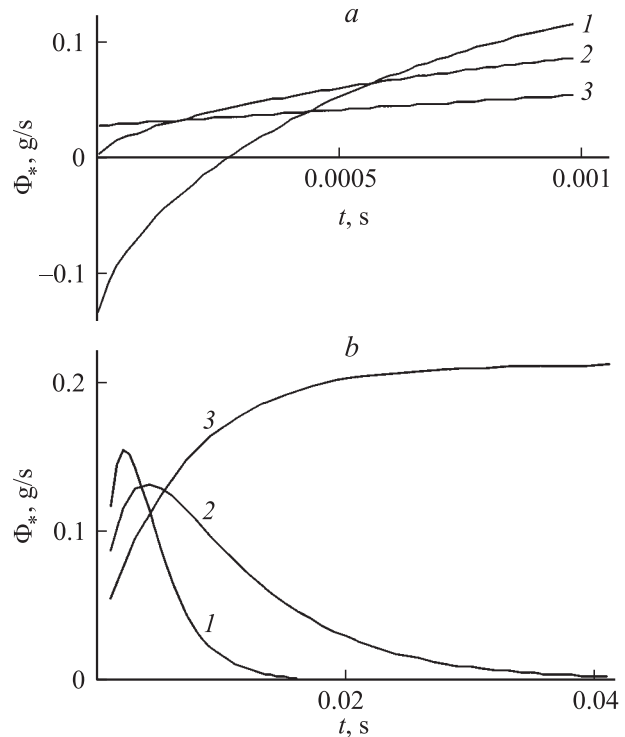
Ниже в качестве количественной характеристики горизонтального потока жидкости будет использоваться величина  $\Phi(\Delta t, t)$ , определенная внутри вертикального слоя на базе геометрического места точек:

$$V_{\Delta y} = \{ -\infty < x < \infty; y_0 < y < y_0 + \Delta y; -d < z < 0 \};$$

при ширине слоя  $\Delta y$ , равной одному метру, т.е.  $\Phi_*(t) \equiv \Phi(100 \text{ см}, t)$ .

Нижеследующие иллюстративные расчеты проведены в предположении, что жидкостью является вода. Внешнее электрическое поле полагается отсутствующим (напряженность поля  $E_0 = 0$ ), кроме специально оговоренных случаев. Предполагается, что температура воды (кроме специально оговоренных случаев) равна 293 К, а значения физико-химических параметров воды, важных для проводимого исследования, принимаются следующими: плотность  $\rho = 0.99823 \text{ г/см}^3$ , коэффициент поверхностного натяжения  $\gamma = 72.8 \text{ dyne/cm}$ , коэффициент динамической вязкости  $\eta = 0.01004P$ . Амплитуды всех волн в проведенных расчетах брались равными  $a = 0.001 \text{ см}$ .

На рис. 1–4 приведены зависимости величины  $\Phi_*$  от времени при различных значениях физико-химических параметров и внешней среды. Указанные зависимости построены для времени  $0 < t < T^*$ , где  $T^*$  — значение момента времени, критического для сохранения

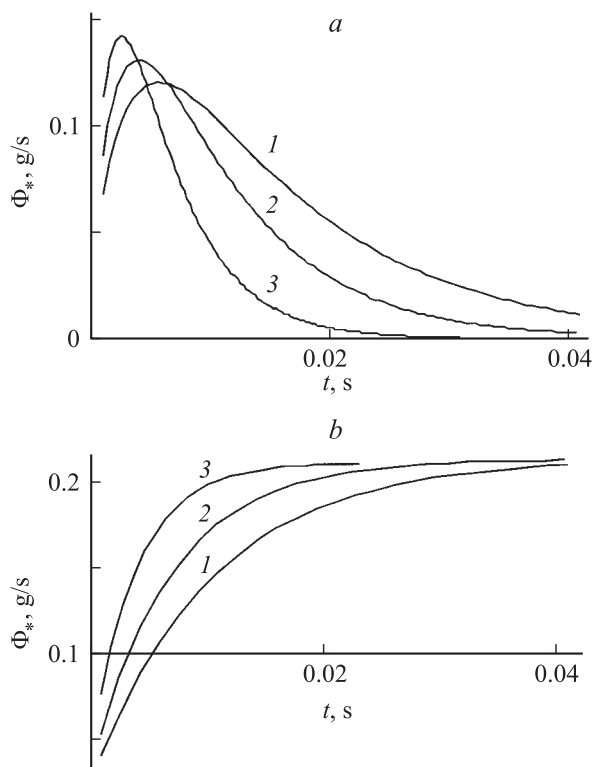


**Рис. 1.** Зависимости величины потока жидкости  $\Phi_*$  от времени при  $\lambda = 0.1$ ,  $\eta = \eta_*$  и различных значениях толщины слоя жидкости: 1 —  $d = 0.008$ , 2 —  $0.0145 \text{ см}$ , 3 —  $\infty$ ; а — на временном интервале  $0 \leq t \leq 0.001 \text{ с}$ ; б —  $0 \leq t \leq 0.04 \text{ с}$ .

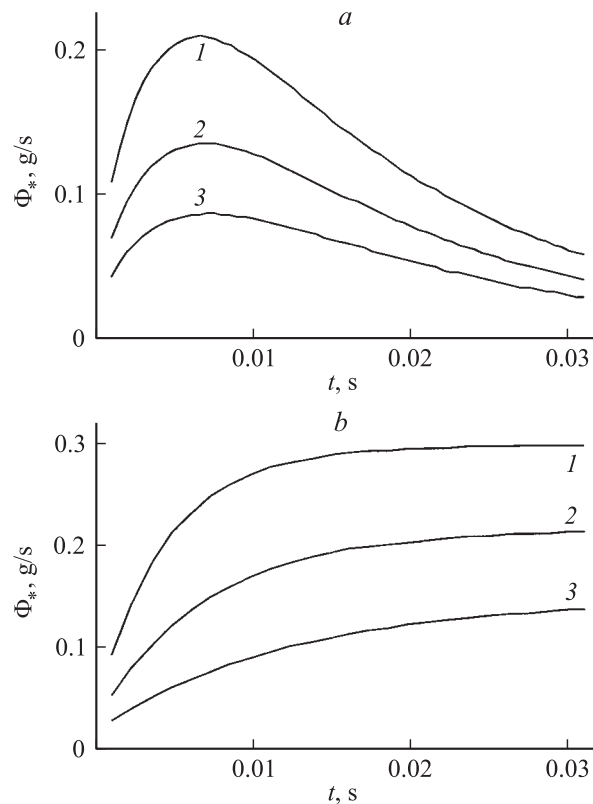
равномерной пригодности асимптотического выражения для горизонтальной компоненты поля скоростей (1). Временные интервалы, на которых иллюстрируются искомые зависимости, приведенные на рис. 1–4, указаны в секундах и на первый взгляд весьма незначительны, но при пересчете на периоды капиллярно-гравитационных волн для всех представленных зависимостей они соответствуют нескольким периодам.

На рис. 1 приведены зависимости величины  $\Phi_*$  от времени для различных толщин слоя жидкости для волны фиксированной длины. Несложно видеть, что чем меньше толщина слоя жидкости, тем быстрее в начале процесса нарастает величина потока жидкости со временем и тем быстрее убывает за счет диссипации, достигнув максимума.

На рис. 2 представлена зависимость величины  $\Phi_*$  от времени при различных значениях коэффициента динамической вязкости жидкости при фиксированной толщине слоя жидкости и для бесконечно глубокой жидкости. На данном рисунке в зависимостях 1 и 3 вязкость завышена или занижена по сравнению с реальным значением вязкости, которое имеет вода при температуре 293 К, что соответствует изменению величины коэффициента динамической вязкости с температурой. Последнее сделано для того, чтобы продемонстрировать характер и степень влияния вязкости на процесс увле-



**Рис. 2.** Зависимости величины потока жидкости  $\Phi_*$  от времени при  $\lambda = 0.1$  см различных значениях коэффициента динамической вязкости: 1 —  $\eta = 0.65\eta_*$ , 2 —  $\eta = \eta_*$ , 3 —  $\eta = 1.8\eta_*$ ;  $\eta_*$  — определено при температуре 293 К; а — для слоя жидкости толщиной  $d = 0.0145$  см; б — для бесконечно глубокой жидкости.



**Рис. 3.** Зависимости величины потока жидкости  $\Phi_*$  от времени при  $\eta = \eta_*$  и различных значениях длины волны: 1 —  $\lambda = 0.08$ , 2 — 0.1, 3 — 0.13 см; а — для слоя жидкости толщиной  $d = 0.02$  см; б — для бесконечно глубокой жидкости.

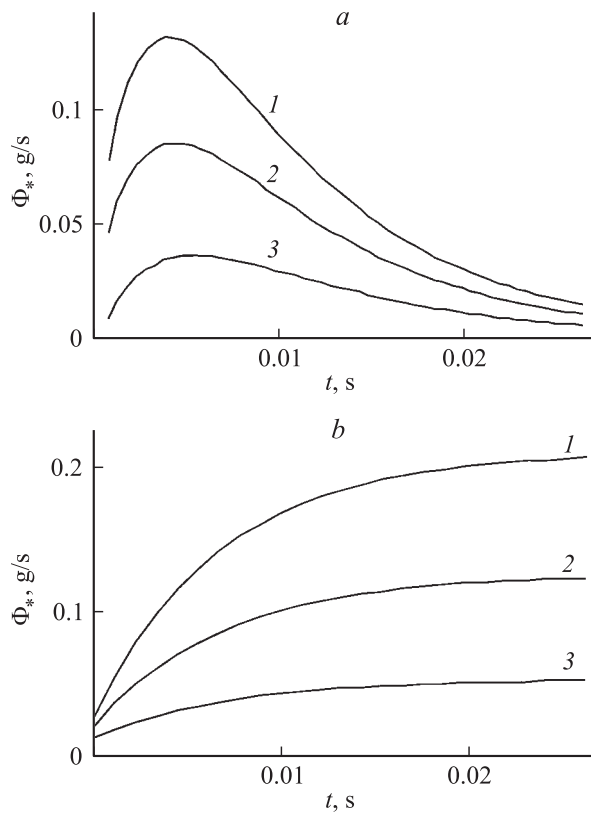
чения массы жидкости нелинейной волной. Из рис. 2 видно, что чем больше вязкость жидкости, тем больше максимальная величина потока жидкости  $\Phi_*$  (что, впрочем, легко видеть из аналитического выражения (4)) и тем выше скорость его изменения во времени: быстрее нарастает в начале процесса и быстрее убывает за счет диссипации энергии.

На рис. 3 приведены зависимости величины  $\Phi_*$  от времени при различных значениях длин волн. Из рис. 3 можно видеть, что независимо от толщины слоя с уменьшением длины волны растет амплитудное значение горизонтального потока жидкости  $\Phi_*$ , и для волн с большей длиной волны величины потока  $\Phi_*$  нарастает со временем медленнее, чем для волн с меньшей длиной волны.

На рис. 4 приведены зависимости величины потока жидкости  $\Phi_*$  от времени при различных значениях параметра Тонкса–Френкеля  $W$

$$W = E_0^2 / 4\pi \sqrt{\rho g \gamma},$$

определяемого отношением электростатического давления на свободную поверхность жидкости к давлению капиллярных сил и характеризующего устойчивость однородно заряженной поверхности электропроводной жидкости по отношению к поверхностному заряду [11].



**Рис. 4.** Зависимости величины потока жидкости  $\Phi_*$  от времени при  $\lambda = 0.1$  см,  $\eta = \eta_*$  и различных значениях параметра Тонкса–Френкеля: 1 —  $W = 0$ , 2 — 1.28, 3 — 1.86; а — для слоя жидкости толщиной  $d = 0.0145$  см; б — для бесконечно глубокой жидкости.

Из рис. 4 видно, что независимо от толщины слоя жидкости с ростом напряженности внешнего электрического поля амплитудное значение потока жидкости и скорость его нарастания во времени снижается, т.е. электрическое поле оказывает тормозящее действие на величину горизонтального потока жидкости.

Кроме того, расчеты показывают, что с приближением значения параметра Тонкса–Френкеля к критическому для реализации неустойчивости заряженной жидкости по отношению к поверхностному заряду — неустойчивости Тонкса–Френкеля — значению  $W_* \approx 2$  скорость роста горизонтального потока жидкости  $\Phi_*$  снижается до нуля. При  $W > 2$  значение потока жидкости в объеме  $\Phi_*$  даже убывает со временем от начального. Известно [3,12], что с приближением величины напряженности электрического поля у поверхности жидкости к состоянию, в котором возможна реализация неустойчивости Тонкса–Френкеля, скорость движения волн по поверхности жидкости сильно замедляется и обращается в нуль при  $W = 2$ , интенсивность конвективного вихревого движения в жидкости при этом сильно увеличивается.

В проведенном анализе бросается в глаза то обстоятельство, что разница в амплитудных величинах горизонтальных потоков жидкости, порождаемых нели-

нейными волнами, достаточно слабо зависит от толщины слоя, изменяясь в полтора–два раза при изменении толщины слоя от величины, сравнимой с длиной волны, до бесконечно большой глубины. Этот факт находит свое объяснение, если вспомнить, что горизонтальный поток жидкости, порождаемый нелинейной волной, определяется вихревой частью нелинейной поправки к полю скоростей, быстро затухающей по мере удаления от поверхности жидкости на характерном линейном масштабе порядка длины волны [13]. Поэтому при превышении толщиной слоя некоторого характерного линейного масштаба, который можно назвать толщиной пограничного слоя у свободной поверхности жидкости [13], поток жидкости, порождаемый нелинейной волной, перестает увеличиваться.

## Заключение

Найдено аналитическое асимптотическое выражение для горизонтального потока жидкости, связанного с периодической нелинейной капиллярной волной в слое вязкой жидкости конечной глубины, имеющее второй порядок малости по отношению амплитуды волны к ее длине. Оказалось, что поток жидкости определяется нелинейной компонентой вихревой части поля скоростей, а его величина независимо от толщины слоя увеличивается с ростом вязкости жидкости и с уменьшением длины волны. Интересно, что вязкость жидкости и толщина слоя жидкости влияют на величину потока жидкости  $\Phi_*$  качественно сходным образом, а именно: малая толщина слоя жидкости влияет на величину горизонтального потока жидкости так же, как большая вязкость, и наоборот — большая толщина слоя жидкости влияет так же, как малая вязкость жидкости. Чем больше вязкость или чем меньше толщина слоя жидкости, тем выше скорость нарастания потока жидкости  $\Phi_*$  в начальный момент времени, тем скорее нарастание величины потока жидкости  $\Phi_*$  сменяется его затуханием, и тем в дальнейшем выше скорость его затухания. Это подтверждает, что вязкость жидкости, а также близость дна к поверхности жидкости способствуют более быстрому увеличению массы жидкости поверхностной волной. С ростом напряженности внешнего электрического поля у свободной поверхности жидкости скорость нарастания потока жидкости  $\Phi_*$  в начальный момент времени максимальное значение потока жидкости во времени и скорость его дальнейшего убывания во времени снижаются. Факт убывания со временем величины потока  $\Phi_*$  в жидкости в состояниях, близких к критическим для реализации неустойчивости Тонкса–Френкеля, дает основания полагать, что кинетическая энергия поверхностной волны слишком медленно переходит в энергию направленного движения массы жидкости в приповерхностном слое объема жидкости. Большая часть кинетической энергии поверхностной волны просто рассеивается из-за вязкости и не успевает перейти в энергию направленного движения массы жидкости в объеме.

**Приложение А. Составляющие решения для горизонтальной компоненты поля скоростей течения вязкой жидкости, связанного с нелинейной волной**

$$\begin{aligned}
 u_1(x, z, t) &= \alpha \exp(\operatorname{Re} S \cdot t) \left( -|v_1| \exp(\operatorname{Re} q(d+z)) \right. \\
 &\quad \times \cos(\operatorname{Im} S \cdot t - kx + \operatorname{Im} q(d+z) + \arg v_1) \\
 &\quad + |v_2| \exp(-\operatorname{Re} q(d+z)) \\
 &\quad \times \cos(\operatorname{Im} S \cdot t - kx - \operatorname{Im} q(d+z) + \arg v_2) \\
 &\quad + |v_3| \operatorname{Ch} k(d+z) \cos(\operatorname{Im} S \cdot t - kx + \arg v_3) \\
 &\quad \left. + |v_4| \operatorname{Sh} k(d+z) \cos(\operatorname{Im} S \cdot t - kx + \arg v_4) \right); \\
 u_2^{\pm}(x, z, t) &= \alpha^2 \exp(2\operatorname{Re} S \cdot t) \\
 &\quad \times \left( -|v_7| \sin(\operatorname{Im} q(d+z) + \arg v_7) \exp((k + \operatorname{Re} q)(d+z)) \right. \\
 &\quad + |v_8| \sin(\operatorname{Im} q(d+z) - \arg v_8) \exp(-(k + \operatorname{Re} q)(d+z)) \\
 &\quad + |v_9| \sin(\operatorname{Im} q(d+z) - \arg v_9) \exp((k - \operatorname{Re} q)(d+z)) \\
 &\quad - |v_{10}| \sin(\operatorname{Im} q(d+z) + \arg v_{10}) \exp(-(k - \operatorname{Re} q)(d+z)) \\
 &\quad - v_{11} \exp(2\operatorname{Re} q(d+z)) - v_{12} \exp(-2\operatorname{Re} q(d+z)) \\
 &\quad - v_{13} \cos(2\operatorname{Im} q(d+z)) - v_{14} \sin(2\operatorname{Im} q(d+z)) \\
 &\quad + |v_{15}| \sin(2\operatorname{Im} S \cdot t - 2kx - \operatorname{Im} q(d+z) + \arg v_{15}) \\
 &\quad \times \exp((k - \operatorname{Re} q)(d+z)) \\
 &\quad + |v_{16}| \sin(2\operatorname{Im} S \cdot t - 2kx + \operatorname{Im} q(d+z) + \arg v_{16}) \\
 &\quad \times \exp(-(k - \operatorname{Re} q)(d+z)) \\
 &\quad + |v_{17}| \sin(2\operatorname{Im} S \cdot t - 2kx + \operatorname{Im} q(d+z) + \arg v_{17}) \\
 &\quad \times \exp((k + \operatorname{Re} q)(d+z)) \\
 &\quad + |v_{18}| \sin(2\operatorname{Im} S \cdot t - 2kx + \operatorname{Im} q(d+z) + \arg v_{18}) \\
 &\quad \left. \times \exp(-(k + \operatorname{Re} q)(d+z)) \right); \\
 L(z, t) &= \frac{r_{12}}{2w_0} \exp(vw_0^2 t) \\
 &\quad \times \left( \exp(w_0 z) \operatorname{erfc}\left(-\frac{-z}{2\sqrt{vt}} - w_0\sqrt{vt}\right) \right. \\
 &\quad \left. - \exp(-w_0 z) \operatorname{erfc}\left(\frac{-z}{2\sqrt{vt}} + w_0\sqrt{vt}\right) \right) \\
 &\quad - \frac{r_{12}}{2w_0} \exp(vw_0^2 t) \sum_{n=0}^{\infty} (-1)^n \\
 &\quad \times \left( \exp\left(w_0(z - d(2+2n)) \operatorname{erfc}(\delta^{(-)} - w_0\sqrt{vt})\right) \right.
 \end{aligned}$$

$$\begin{aligned}
 &+ \exp\left(w_0(-z - d(2+2n)) \operatorname{erfc}(\delta^{(+)} - w_0\sqrt{vt})\right) \\
 &- \exp\left(-w_0(z - d(2+2n)) \operatorname{erfc}(\delta^{(-)} + w_0\sqrt{vt})\right) \\
 &- \exp\left(w_0(z + d(2+2n)) \operatorname{erfc}(\delta^{(+)} + w_0\sqrt{vt})\right) \\
 &+ \frac{r_2}{2} \exp(vw_0^2 t) \\
 &\times \sum_{n=0}^{\infty} (-1)^n \left( \exp(w_0(z - d(1+2n)) \operatorname{erfc}(\beta^{(-)} w_0\sqrt{vt}) \right) \\
 &+ \exp\left(w_0(-z - d(1+2n)) \operatorname{erfc}(\beta^{(+)} - w_0\sqrt{vt})\right) \\
 &+ \exp\left(-w_0(z - d(1+2n)) \operatorname{erfc}(\beta^{(-1)} + w_0\sqrt{vt})\right) \\
 &+ \exp\left(-w_0(z - d(1+2n)) \operatorname{erfc}(\beta^{(+)} + w_0\sqrt{vt})\right) \Big),
 \end{aligned}$$

где

$$\begin{aligned}
 \beta^{(\pm)} &\equiv \frac{d(1+2n) \pm z}{2\sqrt{vt}}; \quad \delta^{(\pm)} \equiv \frac{d(2+2n) \pm z}{2\sqrt{vt}}; \\
 r_{12} &= -\frac{k^2 v \operatorname{Im} q}{(k^2 + q\bar{q})|3k^2 - q^2 + 2k\bar{q}|^2} \\
 &\quad \times \left( 14k^7 + 2k^6 q - 21k^5 q^2 - 2k^4 q^3 + 3k^3 q^4 \right. \\
 &\quad + 13k^5 q\bar{q} + 4k^4 q^2 \bar{q} - 30k^3 q^3 \bar{q} - 10k^2 q^4 \bar{q} \\
 &\quad + 6kq^5 \bar{q} + 2q^6 \bar{q} - 7k^3 q^2 \bar{q}^2 - 16k^2 q^3 \bar{q}^2 \\
 &\quad \left. + 3kq^4 \bar{q}^2 + 2q^5 \bar{q}^2 + 3kq^3 \bar{q}^3 + 2q^4 \bar{q}^3 \right); \\
 c_{01} &= -\frac{iv}{2\Delta z_1} \left( 4kv^2 \rho w_1 (16k^4 - w_1^4) R_{22} \right. \\
 &\quad + 8ik^2 v^2 \rho w_1 (4k^2 - w_1^2) R_{13} \operatorname{Ch} dw_1 \\
 &\quad - (2ik\rho\omega_1^2 R_{13} + \rho\omega_1^2 (4k^2 + w_1^2) R_{11} \\
 &\quad - 2kv(16k^4 - w_1^4) R_{121}) \operatorname{Sh} dw_1 - iv^2 \rho w_1 \\
 &\quad \times (16k^4 - w_1^4) R_{13} \operatorname{Ch} 2dk + w_1 (4\rho k\omega_1^2 R_{11} \\
 &\quad + i\rho\omega_1^2 R_{13} - 8k^2 v(4k^2 - w_1^2) R_{121}) \operatorname{Sh} 2dk \\
 &\quad - 32k^3 v^2 \rho w_1 (4k^2 - w_1^2) R_{22} \operatorname{Ch} 2dk \operatorname{Ch} dw_1 \\
 &\quad - 32ik^3 v^2 \rho w_1 (4k^2 - w_1^2) R_{21} \operatorname{Sh} 2dk \operatorname{Ch} dw_1 \\
 &\quad + \rho(4k^2 - w_1^2) (\omega_1^2 R_{22} + iv^2(4k^2 + w_1^2) R_{21}) \\
 &\quad \times \operatorname{Ch} 2dk \operatorname{Sh} dw_1 + i\rho(4k^2 - w_1^2) \\
 &\quad \left. \times (\omega_1^2 R_{21} - iv^2(4k^2 + w_1^2) R_{22}) \operatorname{Sh} 2dk \operatorname{Sh} dw_1 \right);
 \end{aligned}$$

$$\begin{aligned}
c_{11} = & \frac{\nu}{2\Delta z_1} \left( 8k^2\nu^2\rho(16k^4 - w_1^4)R_{21} \right. \\
& + (2k\rho\omega_1^2R_{13} - i\rho\omega_1^2(4k^2 + w_1^2)R_{11}) \\
& + 2ik\nu(16k^4 - w_1^4)R_{121}) \text{Ch } dw_1 \\
& - 8k^2\nu^2\rho w_1(4k^2 - w_1^2)R_{13} \text{Sh } dw_1 \\
& + 2k(4ik\rho\omega_1^2R_{11} - \rho\omega_1^2R_{13}) \\
& - 8ik^2\nu(4k^2 - w_1^2)R_{121}) \text{Ch } 2dk \\
& + 2k\nu^2\rho(16k^4 - w_1^4)R_{13} \text{Sh } 2dk \\
& - 32ik^3\nu^2\rho w_1(4k^2 - w_1^2)R_{22} \text{Ch } 2dk \text{Sh } dw_1 \\
& + 32k^3\nu^2\rho w_1(4k^2 - w_1^2)R_{21} \text{Sh } 2dk \text{Sh } dw_1 \\
& + i\rho(4k^2 - w_1^2)(\omega_1^2R_{22} + i\nu^2(4k^2 + w_1^2)^2R_{21}) \\
& \times \text{Ch } 2dk \text{Ch } dw_1 - \rho(4k^2 - w_1^2)(\omega_1^2R_{21} \\
& - i\nu^2(4k^2 + w_1^2)^2R_{22}) \text{Sh } 2dk \text{Ch } dw_1); \\
R_{21} = & \frac{ik((3k^4 + 6k^2q^2 - q^4)\sigma_1^2 + 8k^2q^2\sigma_2^2)}{4\nu(k^2 - q^2)(9k^2 - q^2)}; \\
R_{22} = & -\frac{4k^4q\sigma_1\sigma_2}{\nu(k^2 - q^2)(9k^2 - q^2)}; \\
v_1 = & \frac{1}{2}(q(\sigma_1 + \sigma_2)); \quad v_2 = \frac{1}{2}(q(\sigma_1 - \sigma_2)); \quad v_3 = q\sigma_2; \\
v_4 = & k\sigma_1; \quad v_5 = \frac{k}{2}(\sigma_1 + \sigma_2); \quad v_6 = \frac{k}{2}(\sigma_1 - \sigma_2); \\
v_7 = & \frac{(k^2 - q^2)(k\bar{\sigma}_1 + \bar{q}\bar{\sigma}_2)(\sigma_1 + \sigma_2)}{8\nu(w_0^2 - (k + q)^2)}; \\
v_8 = & \frac{(k^2 - q^2)(k\bar{\sigma}_1 - \bar{q}\bar{\sigma}_2)(\sigma_1 - \sigma_2)}{8\nu(w_0^2(k + q)^2)}; \\
v_9 = & \frac{(k^2 - q^2)(k\bar{\sigma}_1 + \bar{q}\bar{\sigma}_2)(\sigma_1 - \sigma_2)}{8\nu(w_0^2(k - q)^2)}; \\
v_{10} = & \frac{(k^2 - q^2)(k\bar{\sigma}_1 - \bar{q}\bar{\sigma}_2)(\sigma_1 + \sigma_2)}{8\nu(w_0^2(k - q)^2)}; \\
v_{11} = & \frac{k\text{Im } q\text{Re } q|\sigma_1 + \sigma_2|^2}{4\nu(w_0^2 - 4\text{Re}^2 q)}; \quad v_{12} = \frac{k\text{Im } q\text{Re } q|\sigma_1 - \sigma_2|^2}{4\nu(w_0^2 - 4\text{Re}^2 q)}; \\
v_{13} = & \frac{k\text{Im } q\text{Re } q(|\sigma_1|^2 - |\sigma_2|^2)}{4\nu(w_0^2 + 4\text{Im}^2 q)}; \quad v_{14} = \frac{k\text{Im } q\text{Re } q\text{Im}(\bar{\sigma}_2\sigma_1)}{4\nu(w_0^2 + 4\text{Im}^2 q)}; \\
v_{15} = & \frac{(k - q)^2(\sigma_1 - \sigma_2)(k\sigma_1 + q\sigma_2)}{8\nu(3k - q)(k + q)}; \\
v_{16} = & \frac{(k - q)^2(\sigma_1 + \sigma_2)(k\sigma_1 - q\sigma_2)}{8\nu(3k - q)(k + q)}; \\
v_{17} = & \frac{(k + q)^2(\sigma_1 + \sigma_2)(k\sigma_1 + q\sigma_2)}{8\nu(3k + q)(k - q)};
\end{aligned}$$

$$v_{18} = \frac{(k + q)^2(\sigma_1 - \sigma_2)(k\sigma_1 - q\sigma_2)}{8\nu(3k + q)(k - q)};$$

$$v_{19} = \frac{k(k + q)(\sigma_1 + \sigma_2)(k\sigma_1 + q\sigma_2)}{4\nu(3k + q)(k - q)};$$

$$v_{20} = \frac{k(k + q)(\sigma_1 - \sigma_2)(k\sigma_1 - q\sigma_2)}{4\nu(3k + q)(k - q)};$$

$$v_{21} = \frac{k(k - q)(\sigma_1 - \sigma_2)(k\sigma_1 + q\sigma_2)}{4\nu(3k - q)(k + q)};$$

$$v_{22} = \frac{k(k - q)(\sigma_1 + \sigma_2)(k\sigma_1 - q\sigma_2)}{4\nu(3k - q)(k + q)};$$

$$v_{23} = 2(R_{21} + c_{11}w_1); \quad v_{24} = 2(R_{22} + 2ikc_{01});$$

$$v_{25} = (c_{01} + c_{11})w_1; \quad v_{26} = (c_{01} - c_{11})w_1;$$

$$v_{27} = 2k(c_{01} + c_{11}); \quad v_{28} = 2k(c_{01} - c_{11});$$

$$\sigma_1 = -\frac{i\nu(-2kq\text{Sh } dk + (k^2 + q^2)\text{Sh } dq)}{-q\text{Ch } dq\text{Sh } dk + k\text{Ch } dk\text{Sh } dq};$$

$$\sigma_2 = -\frac{i\nu(2k^2\text{Ch } dk - (k^2 + q^2)\text{Ch } dq)}{-q\text{Ch } dq\text{Sh } dk + k\text{Ch } dk\text{Sh } dq};$$

$$q = \sqrt{k^2 + \frac{S}{\nu}}; \quad \bar{q} = \sqrt{k^2 + \frac{\bar{S}}{\nu}};$$

$$w_0 = \sqrt{\frac{S + \bar{S}}{\nu}}; \quad w_1 = \sqrt{4k^2 + \frac{2S}{\nu}}.$$

Черта над символом означает комплексное сопряжение.

### Приложение В. Коэффициенты в выражении для потока в вязкой жидкости, связанного с нелинейной волной

$$\begin{aligned}
r_0 = & \frac{i\nu(k^2 - q^2)}{(3k^2 - q^2 - 2k\bar{q})(3k^2 - q^2 + 2k\bar{q})(-q\text{Ch } dq\text{Sh } dk + k\text{Ch } dk\text{Sh } dq)} \\
& \times \frac{k^2 - (\bar{q})^2}{(3k^2 - (\bar{q})^2 - 2kq)(3k^2 - (\bar{q})^2 + 2kq)(-\bar{q}\text{Ch } d\bar{q}\text{Sh } dk + k\text{Ch } dk\text{Sh } d\bar{q})} \\
& \times \frac{1}{4(k^2 - q\bar{q})(k^2 + q\bar{q})} \\
& \times (2k^4q^3\bar{q}(37k^4 - 25k^2q^2 + 4q^4 + (\bar{q}q)^2) \text{Sh } 2dk
\end{aligned}$$

$$\begin{aligned}
 & -2k\bar{q}(81k^{10} + 42k^8q^2 - 24k^6q^4 - 13k^4q^6 + 4k^2q^8) \\
 & - [15k^8 + 54k^6q^2 + 12k^4q^4 - 3k^2q^6](\bar{q})^2 \\
 & - (\bar{q})^4[16k^6 + 5k^4q^2 - 3k^2q^4] \\
 & + [4k^4 + 3k^2q^2 - q^4](\bar{q})^6 \text{Ch } dk \text{Sh } dq \\
 & + 2q\bar{q}(81k^{10} + 5k^8q^2 - 36k^6q^4 + 8k^4q^6 + 22k^8(\bar{q})^2 \\
 & - 17k^6(\bar{q}q)^2 - 13k^4q^4(\bar{q})^2 + 2k^2q^6(\bar{q})^2 \\
 & - [41k^6 + 29k^4q^2 - 4k^2q^4](\bar{q})^4 \\
 & + [8k^4 + 7k^2q^2 - q^4](\bar{q})^6 \text{Sh } dk \text{Ch } dq \\
 & - kq(117k^{10} - 42k^8q^2 - 11k^6q^4 + 4k^4q^6) \\
 & + [137k^8 - 30k^6q^2 - 61k^4q^4 + 14k^2q^6](\bar{q})^2 \\
 & - [97k^6 + 36k^4q^2 - 11k^2q^4 + 2q^6](\bar{q})^4 \\
 & - [k^4 + 8k^2q^2 + 3q^4](\bar{q})^6 + 4[k^2 + q^2](\bar{q})^8 \text{Ch } dq \text{Sh } d\bar{q} \\
 & - 2kq(k^4 - (q\bar{q})^2)(36k^6 - 18k^4q^2 \\
 & + 2k^2q^4 - [31k^4 - 7k^2q^2](\bar{q})^2 \\
 & + [5k^2 - q^2](\bar{q})^4) \text{Ch } 2dk \text{Ch } dq \text{Sh } d\bar{q} \\
 & - 2k^2q^3\bar{q}(29k^6 - 23k^4q^2 + 4k^2q^4 \\
 & + [9k^2q^2 - 2q^4](\bar{q})^2) \text{Sh } 2dk \text{Ch } dq \text{Ch } d\bar{q} \\
 & + 2k^2q^2(42k^8 - 26k^6q^2 + 4k^4q^4 - [3k^4q^2 - k^2q^4](\bar{q})^2 \\
 & - (\bar{q}q)^4) \text{Sh } 2dk \text{Sh } dq \text{Sh } d\bar{q});
 \end{aligned}$$

$$\begin{aligned}
 r_1 = & \frac{ikv}{(3k^2 - q^2 - 2k\bar{q})(3k^2 - q^2 + 2k\bar{q})(-q \text{Ch } dq \text{Sh } dk + k \text{Ch } dk \text{Sh } dq)} \\
 & \times \frac{1}{(3k^2 - \bar{q}^2 - 2kq)(3k^2 - \bar{q}^2 + 2kq)(-\bar{q} \text{Ch } \bar{q} \text{Sh } dk + k \text{Ch } dk \text{Sh } d\bar{q})} \\
 & \times \frac{1}{4(k^2 - q\bar{q})(k^2 + q\bar{q})} \left( k\bar{q}(684k^{14} - 967k^{12}q^2 \right. \\
 & + 597k^{10}q^4 - 215k^8q^6 + 45k^6q^8 - 4k^4q^{10} \\
 & + [127k^4q^8 - 477k^{12} - 522k^{10}q^2 \\
 & + 1008k^8q^4 - 532k^6q^6 - 12k^2q^{10}](\bar{q})^2 \\
 & - [726k^8q^2 - 31k^{10} - 392k^6q^4 + 50k^4q^6 + 3k^2q^8](\bar{q})^4 \\
 & + [77k^8 + 32k^6q^2 - 154k^4q^4 + 28k^2q^6 + q^8](\bar{q})^6 \\
 & + [67k^2q^4 - 13k^6 - 159k^4q^2 - 3q^6](\bar{q})^8 \\
 & + [46k^2q^2 - 6q^4](\bar{q})^{10} - 4q^2(\bar{q})^{12} \\
 & \left. \times (-q \text{Sh } dk \text{Ch } dq + k \text{Ch } dk \text{Sh } dq) \right)
 \end{aligned}$$

$$\begin{aligned}
 & + k^2q(468k^{14} - 441k^{12}q^2 + 116k^{10}q^4 - k^8q^6 - 2k^6q^8 \\
 & + [962k^8q^4 - 396k^6q^6 + 77k^4q^8 - 259k^{12} - 786k^{10}q^2 \\
 & - 6k^2q^{10}](\bar{q})^2 + [432k^8q^2 + 44k^6q^4 - 14k^{10} - 134k^4q^6(\bar{q})^4 \\
 & + 30k^2q^8 - 2q^{10}](\bar{q})^4 + [296k^6q^2 - 370k^4q^4 + 72k^2q^6 \\
 & - q^8](\bar{q})^6 + [22k^6 - 229k^4q^2 + 104k^2q^4 - 5q^6](\bar{q})^8 \\
 & + [52k^2q^2 - 4k^4 - 8q^4](\bar{q})^{10} - 4q^2(\bar{q})^{12}) \text{Ch } dq \text{Sh } dq \\
 & + k^2q(k^4 - (\bar{q}q)^2)(252k^{10} - 135k^8q^2 - 52k^6q^4 + 41k^4q^6 \\
 & - 6k^2q^8 + [-757k^8 + 524k^6q^2 - 127k^4q^4 + 22k^2q^6 \\
 & - 2q^8](\bar{q})^2 + [704k^6 - 319k^4q^2 + 38k^2q^4 + q^6](\bar{q})^4 \\
 & - [291k^4 - 62k^2q^2 + 3q^4](\bar{q})^6 + [56k^2 - 4q^2](\bar{q})^8 \\
 & - 4(\bar{q})^{10}) \text{Ch } 2dk \text{Ch } dq \text{Sh } d\bar{q} - kq\bar{q}(q^2 - (\bar{q})^2) \\
 & \times (110k^2 - 313k^{10}q^2 + 172k^8q^4 - 43k^6q^6 + 4k^4q^8 \\
 & + [111k^8q^2 - 31k^6q^4 - 8k^4q^6 + 2k^2q^8](\bar{q})^2 \\
 & + [8k^4q^4 - 15k^2q^6 + 2q^8](\bar{q})^4 + q^6(\bar{q})^6) \text{Sh } 2dk \text{Ch } dq \text{Ch } dq \\
 & - k^3(q^2 - (\bar{q})^2)(201k^{12} - 443k^{10}q^2 + 160k^8q^4 - 19k^6q^6 \\
 & - [160k^8q^2 - 685k^6q^4 + 318k^4q^6 - 60k^2q^8 + 4q^{10}](\bar{q})^2 \\
 & + [117k^2q^6 - 265k^4q^4 - 8q^8](\bar{q})^4 \\
 & - 6q^6(\bar{q})^6) \text{Sh } 2dk \text{Sh } dq \text{Sh } d\bar{q});
 \end{aligned}$$

$$\begin{aligned}
 r_2 = & \frac{v(k^2 - q^2)}{(3k^2 - q^2 - 2k\bar{q})(3k^2 - q^2 + 2k\bar{q})(-q \text{Ch } dq \text{Sh } dk + k \text{Ch } dk \text{Sh } dq)} \\
 & \times \frac{k^2 - (\bar{q})^2}{(3k^2 - (\bar{q})^2 - 2kq)(3k^2 - (\bar{q})^2 + 2kq)(-\bar{q} \text{Ch } d\bar{q} \text{Sh } dk + k \text{Ch } dk \text{Sh } d\bar{q})} \\
 & \times \frac{ik(q - (\bar{q})^2)}{16(k^2 - q\bar{q})(k^2 + q\bar{q})} \left( -4k^2q\bar{q}(35k^6 \right. \\
 & - 48k^4q^2 + 8k^3q^4 + [7k^2q^2 - 2q^4](\bar{q})^2) \\
 & - 8k^2q\bar{q}(k^4 - q^2(\bar{q})^2)(k^2 - q^2) \text{Ch } 2dk \\
 & + q\bar{q}(k^2 + q^2)(37k^4 - 25k^2q^3 + 4q^4 \\
 & - 5[q^2 - 5k^2](\bar{q})^2 + 4(\bar{q})^4) \\
 & \times (4k^2 \text{Ch } dk - (k^2 + (\bar{q})^2) \text{Ch } d\bar{q}) \text{Ch } dq \\
 & - (k^2 + q^2)(33k^6 - 23k^4q^2 + 4k^2q^4 \\
 & + [9k^2q^2 - 23k^4 - 2q^4](\bar{q})^2 + [4k^2 - 2q^2](\bar{q})^4) \\
 & \left. \times (4k\bar{q} \text{Sh } dk - (k^2 + (\bar{q})^2) \text{Sh } d\bar{q}) \text{Sh } dq \right).
 \end{aligned}$$

Работа выполнена при поддержке гранта  
№ 06-01-00066-а.

## Список литературы

- [1] *Стокер Дж.* Волны на воде. М.: ИЛ, 1959. 617 с.
- [2] *Longuet-Higgins M.S.* // Royal Soc. London. Trans. Ser. A. 1953. Vol. 245. № 903. P. 535–581.
- [3] *Белоножко Д.Ф., Ширяева С.О., Григорьев А.И.* Нелинейные волны на заряженной поверхности жидкости. Ярославль: Изд-во ЯрГУ, 2006. 288 с.
- [4] *Белоножко Д.Ф., Григорьев А.И.* // ЖТФ. 2003. Т. 73. Вып. 4. С. 28–37.
- [5] *Белоножко Д.Ф., Григорьев А.И.* // Изв. РАН. МЖГ. 2003. № 2. С. 184–192.
- [6] *Климов А.В., Белоножко Д.Ф., Григорьев А.И.* ЖТФ. 2005. Т. 75. Вып. 10. С. 9–18.
- [7] *Климов А.В., Григорьев А.И.* Аналитический расчет нелинейных волн в тонком слое вязкой электропроводной жидкости // Препринт ИМИРАН № 35. Ярославль, 2005. 52 с.
- [8] *Nayfeh A.H.* // The Phys. of Fluids. 1970. Vol. 13. N 3. P. 545–550.
- [9] *McGoldrick L.F.* // Fluid Mech. 1972. Vol. 52. Pt. 4. P. 723–751.
- [10] *Dias F., Kharif C.* // Ann. Rev. Fluid Mech. 1999. Vol. 31. P. 301–346.
- [11] *Френкель Я.И.* // ЖЭТФ. 1936. Т. 6. Вып. 4. С. 348–350.
- [12] *Белоножко Д.Ф., Григорьев А.И.* // ЖТФ. 2006. Т. 76. Вып. 9. С. 41–45.
- [13] *Белоножко Д.Ф., Григорьев А.И.* // ЖТФ. 2007. Т. 77. Вып. 8. С. 19–28.